

ZMENY TEXTÚRY BENTONITU PRI VIBRAČNOM MLETÍ A PO ODLEŽANÍ

IVAN NOVÁK, BLAHOSLAV ČÍČEL, DORIS JAKUBEKOVÁ*), DANA FRĚTALOVÁ*)

Ústav anorganickej chémie SAV, Dábravská cesta 5, 809 34 Bratislava

*) Výskumný ústav inžinierskych stavieb, Lamačská cesta, 894 13 Bratislava

Došlo 2. 10. 1980

Rastrovacím elektrónorým mikroskopom sa sledovali zmeny usporiadania kryštalitov montmorillonitu (textúra) po krátkodobom vibračnom mletí. Zistilo sa, že kryštality sa po vibračnom mletí orientujú rovnobežne s plochou 001. Štúdiom gélov vznikajúcich solvatáciou upraveného a neupraveného bentonitu sa dokázali rozdiely v ich textúre v závislosti od vnútorného usporiadania kryštalítov suchého materiálu. V práci sa uvádzajú model mechanizmu solvatácie, ktorý vysvetľuje zistené rozdiely v usporiadanií kryštalítov a ich vzťah k objemu gélu, ktorý vzniká ich solvatáciou vo vode.

ÚVOD

Pri jemnom mletí ilových minerálov sa menia ich technologické vlastnosti. Toto viedlo k výskumu procesov, ktoré pri mletí ilov prebiehajú. Zvlášť podrobne je preštudovaný proces jemného mletia kaolinitu [1]—[8]. Oveľa menej pozornosti sa venovalo štúdiu procesov prebiehajúcich pri mechanickej aktivácii montmorillonitu [3], [6], [9]—[12]. Štúdium procesov pri mletí zamerali spomínaní autori predovšetkým na zistenie vzťahu medzi stupňom rozrušenia štruktúry a zmenou ich vlastností (plastičnosti, napučiavosti, kapacity výmeny kationov apod.).

Jusko et al [13] zistili, že vibračným mletím natrifikovaného bentonitu sa podstatne zvyšuje jeho napučiavosť; napr. u bentonitu Jelšový Potok z 25 ml/2 g až na 59 ml/2 g po vibračnom mletí. Dosiahnutá napučiavosť sa však s doboru odleženia samovoľne znížuje a po určitom čase sú hodnoty napučiavosti len o málo vyššie ako boli pôvodné hodnoty pred vibračným mletím. Týmito zmenami sa podrobne zaoberali Číčel et al [14]. Za príčinu zvýšenia napučiavosti vibračným mletím považujú zmenu textúry častic, ktorá je umožnená prítomnosťou vodného filmu adsorbovaného na ich povrchu. Prítomnosť vlhkosti je príčinou aj samovoľného procesu znížovania hodnôt napučiavosti s doboru odležania po zomletí. Zistili, že pre dosiahnutie maximálnych hodnôt napučiavosti je prípustné iba krátkodobé vibračné mletie, pri ktorom ešte nedochádza k pozorovateľnému rozrúšaniu štruktúry montmorillonitu.

Cieľom tejto práce je overiť správnosť predpokladu o tom, že usporiadanie kryštalítov v časticach (tj. textúra vnútri častic) sa pri vibračnom mletí podstatne mení a že dlhodobým uložením v prostredí so vzdušnou vlhkosťou dochádza k samovoľnej regenerácii pôvodného usporiadania kryštalítov. Ďalej je cieľom tejto práce overiť predpoklad o rozdieloch v mechanizme solvatácie bentonitu v závislosti od vnútornej textúry jeho častic.

Postupy a materiály

Charakteristika materiálu: Použil sa bentonit z lokality Jelšový Potok, ktorý obsahuje okrem montmorillonitu asi 10 % kremčena. Prírodný bentonit sa upravil príďavkom 5 % Na_2CO_3 , zhomogenizoval a vysušil. Obsah vlhkosti vo vzduchosuchej vzorke bol 10,2 %.

Mletie: Na mletie sa použil vibračný laboratórny mlyn VM-3, výrobok Komunálnych služieb mesta Hranice, prikon 1,1 kW, návažka vzorky 50 g, doba mletia 5 minút pri laboratórnej teplote.

Elektrónová mikroskopie: Snímkovanie sa vykonalo na rastrovacom elektrónovom mikroskope SEM JEOL 35. Vzorky sa pripevňovali pomocou adhezíva na elektricky vodivú podložku a pokovovali zlatom.

Výsledky a diskusia

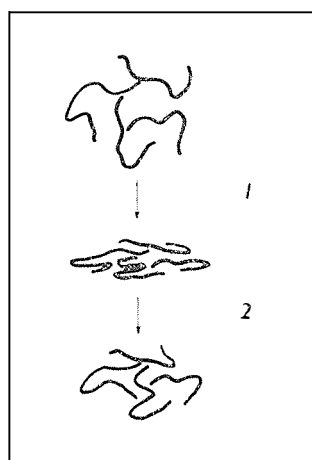
Na obr. 1 je zachytená textúra pôvodného nemletého bentonitu. Agregát pozostáva z množstva rôzne poprehýbaných a pospájaných lístkovitých kryštalítov. V jednotlivých zrnach (agregátoch) nepozorujeme na snímke žiadnu prednostnú orientáciu. Pri malom zväčšení ($300-2000\times$) sa dajú na lomovej ploche materiálu pozorovať aj hrubšie trhlinky, ktoré vznikli pri sušení.

Vplyvom päťminutového vibračného mletia sa morfológia zrín a usporiadanie kryštalítov podstatne mení: na obr. 2 je vidno výraznú zmenu textúry materiálu. Lístkové kryštality sú v agregáte uložené v podstate paralelne a priliehajú k sebe bazálnymi plochami. Ani na okrajoch kryštalítov nie je vidno náznaky prehnutia. Na plochách lístkov možno pozorovať jemné miestne trhlinky, ktoré vznikajú tam, kde násilná orientácia kryštalítov prekonala pevnosť materiálu a spôsobila lokálne narušenie jeho celistvosti. Prednostná orientácia paralelne s bazálnymi plochami kryštalítov sa prejavuje napr. vo zväčšení integrálnej intenzity difrakcie 001, ktorá sa zvýší po päťminútovom vibračnom mletí zo 100 na 102,7 (pri iných vzorkách až na 110,0 [15]). Pri vibračnom mletí došlo aj k výraznému zmenšeniu veľkosti agregátov.

V materiáli, ktorého textúra bola vibračným mletím modifikovaná, dochádza pri uložení k samovoľnému procesu regenerácie pôvodného usporiadania lístkovitých kryštalítov, ako je to vidieť na obr. 3, 4 a 5. S narastajúcou dobu uloženia po vibračnom mletí dochádza najskôr k ohýbaniu a stáčaniu krajov lístkovitých kryštalítov, pozdejšie sa poprehýbajú celé kryštality, pričom sa už nedotýkajú navzájom celými bazálnymi plochami, ale iba ich časťou. Tak späťne vzniká textúra podobná pôvodnej textúre aggregátov. Schematicky sú zmeny usporiadania kryštalítov v agregáte v dôsledku vibračného mletia a po ňom nasledujúceho dlhodobého uloženia materiálu ukázané na obr. 6.

Vzájomný vzťah medzi zmenami textúry častic bentonitu a celkovým objemom gélu, ktorý vzniká pri styku bentonitu s vodou, je možné vysvetliť ak predpokladáme, že pre voluminéznosť vznikajúceho agregátu sú rozhodujúce:

- podmienky prístupu kvapalného média (v tomto prípade vody) k jednotlivým kryštalitom,
- priestorové možnosti pre zmenu objemu jednotlivých kryštalítov v dôsledku napučiavania.



Obr. 6. Schematické znázornenie zmen usporiadania kryštalítov v zrne vibračným mletím a nasledným odležaním; 1 — vibračné mletie, 2 — odležanie.

Interakciu bentonitu s vodou môžeme rozdeliť na dva rýchle po sebe prebiehajúce procesy:

1. preniknutie vody do agregátu (zrna);
2. vlastné napučiavanie (vniknutie vody do medzivrstvových priestorov v štrukture montmorillonitu a vznik solvatačných obalov na povrchu kryštalítov).

Pri styku vibračným mletím neupravovaného bentonitu s vodou preniká voda prieduchmi medzi kryštalitmi do vnútra agregátu. V dôsledku textúrneho usporiadania (pozri obr. 1) sú tieto póry značne nerovnomerné a rozvetvené a preto je rýchly prísun vody do vnútra zrna obtiažny. Voda sa začne spotrebovávať na napučiavanie kryštalítov v blízkosti povrchu aggregátu a v bezprostrednom susedstve pórov. To spôsobuje rýchle zmenšovanie priemeru pórov a prieduchov, prípadne ich úplné uzavretie. Proces napučiavania sa spomaľuje, pretože je určovaný množstvom vody, ktoré sa do vnútra aggregátu dostane cez povrchovú vrstvu už solvatovaného montmorillonitu. Takto sa vytvárajú kompaktné, nízkosolvatované útvary. Ich vzniku napomáha aj neusporiadlosť kryštalítov v agregáte, ktoré si navzájom prekážajú vo voľnom napučiavaní a tým znižujú priechodenosť povrchovej vrstvy a stážajú difúziu vody do vnútra.

Ak príde do styku s vodou agregát bentonitu upravený krátkodobým vibračným mletím, voda do neho preniká pôrní, vytvorenými plochami jednotlivých kryštalítov uložených paralelne s vrstvenatou štruktúrou montmorillonitu. Aj nasledujúca solvatácia medzivrstvových priestorov môže volne prebiehať, pretože objemové zmeny kryštalítov pri napučiavaní majú v celom aggregáte približne rovnaký smer v dôsledku prednostnej orientácie. Deformácie jednotlivých vrstiev, ktoré môžu byť zapríčinené vnútrokryštalickými silami a pnutím v prostredí prebytku kvapalnej fázy, iba podporujú vznik voluminózneho aggregátu.

V priebehu uloženia materiálu po vibračnom mletí samovoľne vznikajúca neorientovaná textúra v jednotlivých aggregátoch pri styku s vodou postupne smeruje k priebehu solvatácie ako pri pôvodnom materiáli tak, ako sa postupne obnovuje

pôvodná neorientovaná textúra. Výsledkom je postupné zmenšovanie celkového objemu gélu.

Jestvovanie dvoch rozdielnych mechanizmov solvatácie montmorillonitu v závislosti od vnútorného usporiadania kryštalitov v agregáte viedie k predpokladu, že aj textúrne usporiadanie vznikajúceho gélu tesne po solvatácii by malo byť rozdielne. Tento predpoklad sa overoval sledovaním textúry bentonitových gélov, vznikajúcich z vibračne upravených a neupravených materiálov, tesne po solvatácii. Vzorky pre snímkovanie v rastrovacom elektrónovom mikroskope sa pripravovali tak, že do skúmavky, ktorá obsahovala asi 1 cm³ vody sa vsypalo 0,02 g bentonitu a asi po 1 sek. sa skúmavka ponorila do kvapalného dusíku. Zo zmrazeného gélu sa voda odstránila lyofilizáciou, tj. sublimáciou zľadovatej vodnej fázy vo vákuu pri teplotách pod 0 °C, takže usporiadanie kryštalitov v géli ostalo zachované.

Na obr. 7 a 8 je zachytené usporiadanie kryštalitov v géli, ktorý vznikol solvatáciou bentonitu neupraveného vibračným mletím. Na obr. 7 v menšom zväčení je vidno pomerne hustú siet útvarov, ktoré vznikli pri solvatácii a ktoré sú navzájom preplietané a zaklinené do seba. Obr. 8 ukazuje, že vedľa väčších lístkovitých kryštalitov sa vyskytujú útvary s extrémne jemnými šupinkovými kryštalitmi bez akéhokoľvek sprehýbania.

Usporiadanie kryštalitov v géli, ktorý vznikol solvatáciou bentonitu upraveného vibračným mletím, je na obr. 9 a 10. Na obr. 9 vidno pri menšom zväčení špongiovité útvary, ktoré majú mnoho dutín a volných priestorov, pôvodne vyplňujúcich kvapalnou fázou. Tuhá fáza tohto voluminózneho systému — pozri obr. 10 — je tvorená lístkovitými kryštalitmi, ktoré sú nepravidelne deformované a nemajú prednostnú orientáciu v priestore.

Existenciu dvoch rozdielnych typov usporiadania kryštalitov v aggregátoch suchého bentonitu, vznikajúcich rozličnou mechanickou úpravou, považujeme za dôkaz správnosti predpokladu o výrazných rozdieloch v mechanizme solvatácie montmorillonitu v závislosti od jeho textúry a potvrdenie predpokladov o príčinách rozdielnej napučiavosti vibračne upravovaného a neupravovaného bentonitu.

ZÁVER

Pomocou rastrovacej elektrónovej mikroskopie sa ukázalo, že pri krátkodobom vibračnom mletí bentonitu dochádza ku zmene usporiadania kryštalitov v aggregátoch bentonitu, pričom pri vibračnom mletí sa kryštality orientujú rovnobežne s plochou 001.

Štúdiom gélov vznikajúcich napučiavaním a solvatáciou upraveného a neupraveného bentonitu vo vode sa dokázali rozdiely v textúre v závislosti od usporiadania kryštalitov v aggregátoch suchého materiálu.

V práci sa uvádzaj model mechanizmu solvatácie, ktorý vysvetluje zistené rozdiely v usporiadani kryštalitov vo vzťahu k objemu gélu, ktorý vzniká ich solvatáciou.

Literatúra

- [1] Laws W. D., Page G. B.: Soil Sci. 62, 319 (1946).
- [2] Wiegmann J., Kranz G.: Silikattech. 8, 520 (1957).
- [3] Bartholomä H. D.: Tonind. Ztg. 82, 522 (1958).
- [4] Köhler E., Hofmann U., Scharrer E., Krühauf K.: Ber. dtsch. keram. Ges. 37, 493 (1960).

- [5] Schrader R., Haase T., Knesche G.: Silikattech. 21, 196 (1970).
- [6] Schrader R., Kutzer H., Hoffman B.: Tonind. Ztg. 94, 410 (1970).
- [7] Bernhardt C., Heegn H.: Banícke listy, 296 (1976).
- [8] Jusupov T. S., Lapuchova E. S., Korneva T. A.: Banícke listy, 284 (1976).
- [9] Bloch J. M.: Bull. Soc. Chim. Frane. Ser. 5, 17, 774 (1950).
- [10] Perkins A. T., Dragsdorf R. D.: Soil Sci. Soc. Amer. Proc. 21, 154 (1952).
- [11] Juhász Z.: Ber. deutsch. keram. Ges. 50, 267 (1973).
- [12] Kupka J., Bobro M., Merva M., Hoemanová I., Bejda J.: Banícke listy, 308 (1976).
- [13] Jusko F., Lazar R., Zeman V.: Čs. prihl. vynálezu č. PV 645-75.
- [14] Číčel B., Novák L., Lazar R.: Silikaty 22, 347 (1978).
- [15] Číčel B., Kranz G.: pripravené do tlače.

ИЗМЕНЕНИЯ ТЕКСТУРЫ БЕНТОНИТА ПРИ ВИБРАЦИОННОМ ИЗМЕЛЬЧЕНИИ И ПОСЛЕ ВЫЛЕЖИВАНИЯ

Иван Новак, Благослав Чичел, Дорие Якубекова*) , Даана Фртилова*)

Институт неорганической химии САН, Братислава

*) *Научно-исследовательский институт инженерных сооружений, Братислава*

Исследование морфологии зерен бентонита с помощью сканирующего электронного микроскопа показало, что в течение непродолжительного вибрационного измельчения резко изменяется характер расположения листообразных кристаллитов в его агрегатах. Неориентированная текстура изгибчатых листообразных кристаллитов необработанного материала (рис. 1) в течение пятиминутного вибрационного измельчения переходит в параллельное упорядочение кристаллитов (рис. 2). При последующем более длительном вылеживании бентонита после вибрационного измельчения происходит постепенное восстановление первоначальной неориентированной текстуры (рис. 3—5) необработанного материала. Восстановление неориентированной текстуры сопровождается постепенным понижением величин набухания.

Изменения текстурного упорядочения под влиянием непродолжительного измельчения кажутся причиной изменений величины набухания, вызванных различными условиями доступа воды внутрь агрегатов бентонита, и в результате этого возможностями образования полиминозной системы. Неориентированная, расчлененная текстура листообразных кристаллитов необработанного бентонита мешает быстрому одноточечному доступу воды внутрь агрегата. При сольватации образуется компактная низкосольватированная система (рис. 7 и 8). Параллельная пластичная ориентация кристаллитов, вызванная непродолжительным вибрационным измельчением, дает возможность легкого и быстрого проникновения желаемого количества воды в общий объем агрегата. Пластичное упорядочение кристаллитов представляет возможность неорганического набухания и образование полиминозной формы (рис. 9 и 10). Постепенное возвращение к неориентированному упорядочению кристаллитов под действием вылеживания является причиной постепенного понижения величины набухания.

Рис. 1. Текстура первоначального неизмельченного бентонита Ельшовы Поток.

*Рис. 2. Текстура бентонита Ельшовы Поток после 5 мин. вибрационного измельчения.
Съемка после 30 мин. от окончания измельчения.*

Рис. 3. Текстура бентонита Ельшовы Поток, 5 мин. вибрационное измельчение. Вылеживание сутки.

Рис. 4. Текстура бентонита Ельшовы Поток, 5 мин. вибрационное измельчение. Вылеживание 7 дней.

Рис. 5. Текстура бентонита Ельшовы Поток, 5 мин. вибрационное измельчение. Вылеживание 180 дней.

Рис. 6. Схематическое изображение вызванных изменений в упорядочении кристаллитов в зерне, вибрационным измельчением и последующим вылеживанием; 1 — вибрационное измельчение, 2 — вылеживание.

Рис. 7. Текстура геля, образовавшегося в результате набухания бентонита в воде. Бентонит, необработанный вибрационным измельчением.

Zmeny textúry bentonitu pri vibračnom mletí a po odležaní

Рис. 8. Съемка того же геля, как на рис. 7.

Рис. 9. Текстура геля, образовавшегося набуханием бентонита в воде. Бентонит, обработанный 5 мин. вибрационным измельчением.

Рис. 10. Съемка того же геля, как на рис. 9.

THE CHANGES IN THE TEXTURE OF BENTONITE TAKING PLACE DURING VIBRATION GRINDING AND AFTER AGEING

Ivan Novák, Blahoslav Čičol, Doris Jakubeková,*) Dana Frsfalová*)

Institute of Inorganic Chemistry, Slovak Academy of Sciences, Bratislava

*) Research Institute of Civil Engineering, Bratislava

A study of the morphology of bentonite grains by scanning electron microscope has shown that the character of arrangement of sheet crystallites in the aggregates is subject to marked changes in the course of short-term vibration grinding. The non-oriented texture of distorted sheet crystallites of non-treated material (Fig. 1) is rearranged by five minute vibration grinding into a parallel texture of the crystallites (Fig. 2). On subsequent long-term storage of bentonite, the material gradually regains its original non-oriented texture (Figs. 3--5). The regeneration of the non-oriented texture is thus responsible for the gradually decreasing of swelling volumes.

The changes in textural arrangement during short-term vibration grinding result in changes in swelling volumes, as a consequence of changed conditions for the access of water into the bentonite aggregate interiors, and thus in different conditions for the formation of a voluminous system. The non-oriented texture of the sheet crystallites of non-treated bentonite hinders rapid supply and adequate access of water to the aggregate interior. Solvation creates a compact and poorly solvated system (Figs. 7 and 8). The parallel lamellar orientation of crystallites, produced by short-term vibration grinding, facilitates ready and fast penetration of the required amount of water into the entire aggregate volume. The lamellar arrangement of crystallites permits unlimited swelling and formation of a voluminous system (Figs. 9 and 10). The gradual regaining of the non-oriented arrangement of crystallites as a result of ageing is the cause of gradual loss of the swelling volumes.

Fig. 1. The texture of the original non-ground Jelšový Potok bentonite.

Fig. 2. The texture of the Jelšový Potok bentonite after 5 minutes of vibration grinding. The micrograph was taken 30 minutes after grinding.

Fig. 3. The texture of the Jelšový Potok bentonite, 5 minutes of vibration grinding. Ageing 24 hours.

Fig. 4. The texture of the Jelšový Potok bentonite, 5 minutes of vibration grinding. Ageing 7 days.

Fig. 5. The texture of the Jelšový Potok bentonite, 5 minutes of vibration grinding. Ageing 180 days.

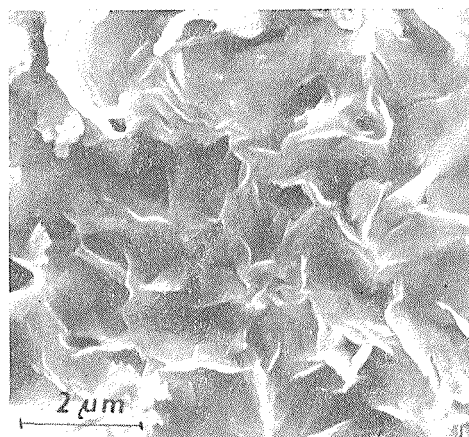
Fig. 6. Schematic illustration of the changes in the arrangement of crystallites in a grain due to vibration grinding and subsequent ageing; 1 — vibration grinding, 2 — ageing.

Fig. 7. The texture of the gel created by swelling of bentonite in water. Bentonite not treated by vibration grinding.

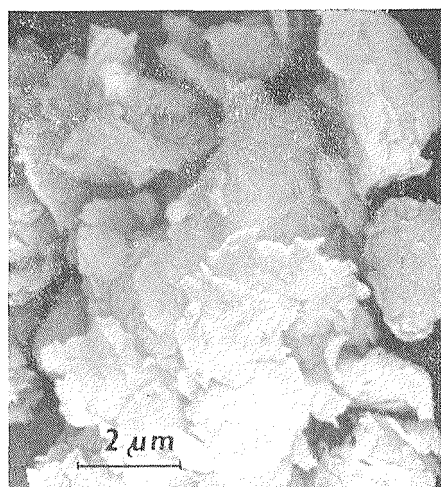
Fig. 8. Micrograph of the same gel as in Fig. 7.

Fig. 9. The texture of a gel formed by swelling of bentonite in water. The bentonite was treated by 5 minutes of vibration grinding.

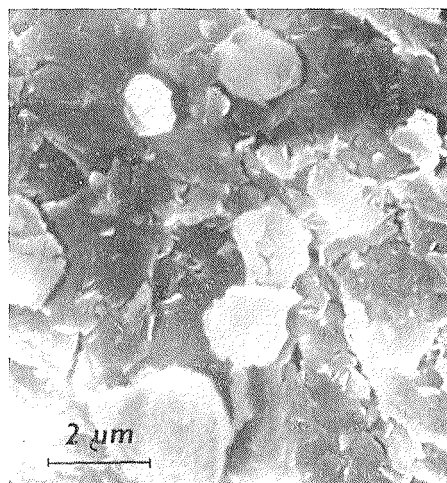
Fig. 10. Micrograph of the same gel as in Fig. 9.



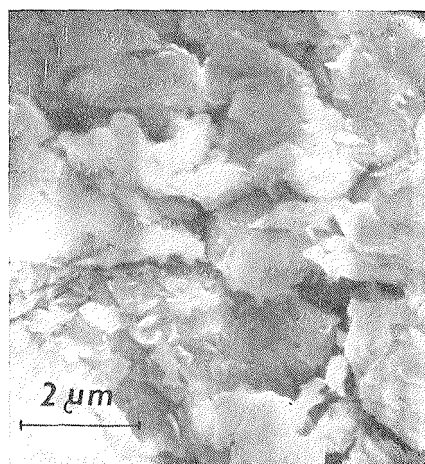
Obr. 1. Textúra pôvodného nemletého bentonitu Jelšový Potok.



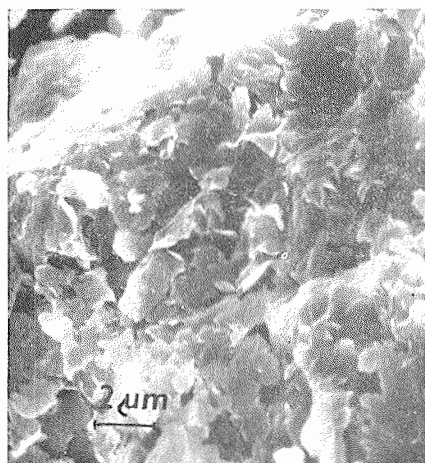
Obr. 2. Textúra bentonitu Jelšový Potok po 5 min. vibračného mletia. Snímkované 30 min. po zomletí.



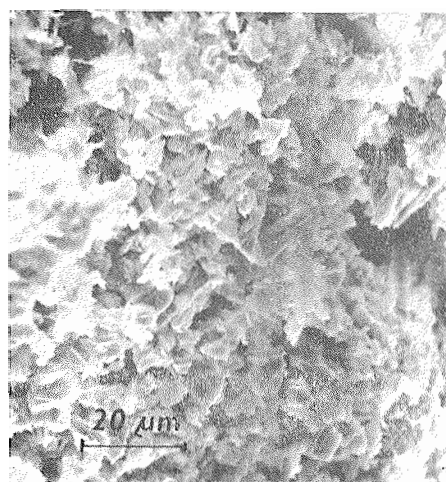
Obr. 3. Textúra bentonitu Jelšový Potok, 5 min. vibračné mletie. Odležanie 24 h.



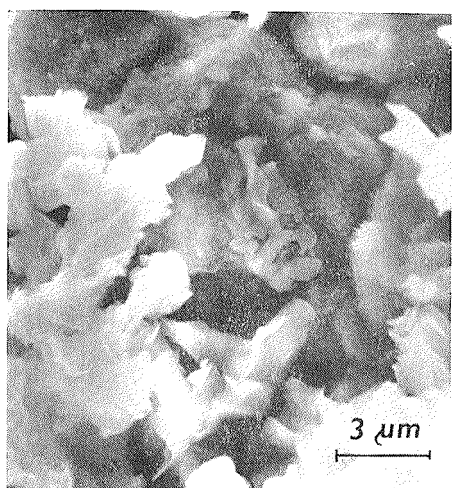
Obr. 4. Textúra bentonitu Jelšový Potok, 5 min. vibračné mletie. Odležanie 7 dní.



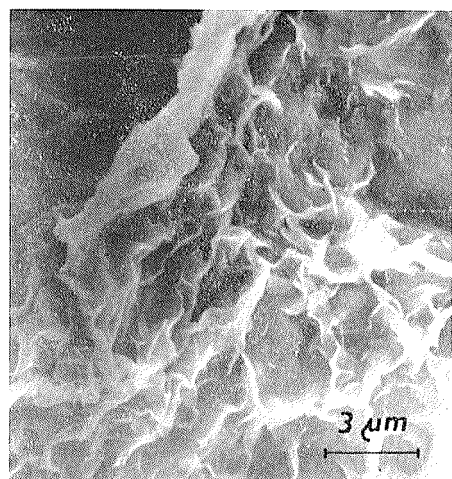
Obr. 5. Textúra bentonitu Jelšovský Potok, 5 min. vibračné mletie, Oddežanie 180 dní.



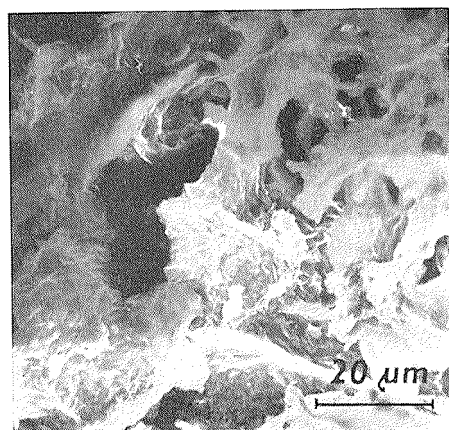
Obr. 7. Textúra gélu, ktorý vznikol napučaním bentonitu vo vode. Bentonit neupravovaný vibračným mletím.



Obr. 8. Snímok rovnakého gélu ako na obr. 7.

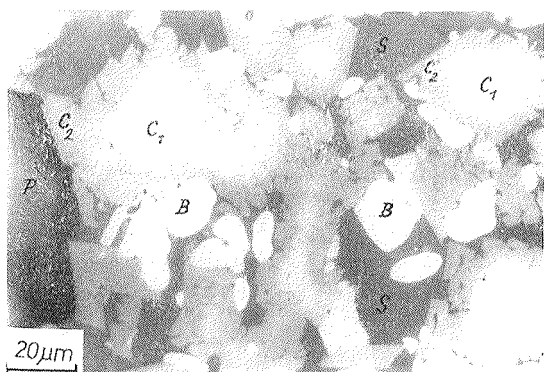


Obr. 10. Snímok rovnakého gélu ako na obr. 9.

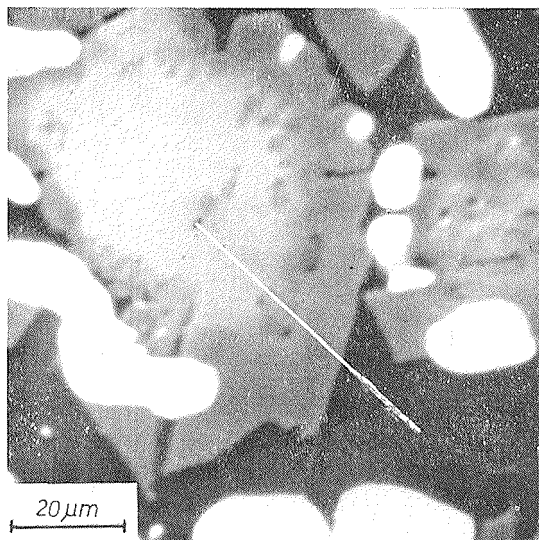


Obr. 9. Textúra gélu, ktorý vznikol napučaním bentonitu vo vode. Bentonít upravený 5 min. vibračným mletím.

Zonárnost rubínu v tureních žárovzdorných materiálech...



Obr. 1. Struktura chrómkorundo-baddeleyitového materiálu ER 216 v oblasti asi $10\mu m$ pod povrchem odlitku; B — baddeleyit, C_1 — světlá jádra kryrstalů chrómkorudu, C_2 — tmavší temy kryrstalů chrómkorudu, S — skelná fáze, P — uzavřený pór. Odražené světlo.



Obr. 2. Oblast, v níž byla provedena lineární rentgenová mikroanalýza (dráha vyznačena bílou linkou).
Odražené elektrony, compo.